

30

ESPALHAMENTO RAMAN POR MÃGNONS EM SEMI-
CONDUTORES FERROMAGNÉTICOS

Nilson Sena de Almeida

UNIVERSIDADE ESTADUAL DE CAMPINAS
INSTITUTO DE FÍSICA
BIBLIOTECA

Tese apresentada ao Instituto de
Física Gleb. Patachik da Universi-
dade Estadual de Campinas, como
parte dos requisitos para obten-
ção do grau de Mestre em Ciências.

JULHO/1977

A meus pais,
Gracinha e Ana Carolina

Meus agradecimentos

Ao Prof. Dr. Luiz Carlos M. Miranda, por ter sugerido e orientado este trabalho e principalmente, pelo apoio e incentivo quando isto se fez necessário.

A Universidade Federal do Rio Grande do Norte e ao PICD pelo suporte financeiro.

Ao Prof. Dr. Sergio Porto e ao Prof. Dr. Vladimir Guimarães, pelo apoio que nos foi dado quando da nossa chegada à UNICAMP.

Ao Prof. Dr. José Galvão, por suas sugestões, particularmente no capítulo IV.

Aos colegas que direta ou indiretamente contribuíram para que este trabalho fosse realizado, em particular a Mário Tenan e Antonio José, pelas proveitosas discussões.

ÍNDICE

Capítulo I

- Introdução 3
- Formulação do problema 5

Capítulo II

- II.1 Cálculo do elemento de matriz 10
- II.2 Cálculo da eficiência Raman 16

Capítulo III

- III.1 Cálculo do elemento de matriz 20
- III.2 Cálculo das eficiências Raman 31

Capítulo IV

- IV.1 Análise e valores numéricos 38

Apêndices

- A.I Interação Dipolar 43
- A.II Cálculo de $G_o^\alpha(t, t')$ 49

- Referências 52

RESUMO

A eficiência Raman de espalhamento de ondas eletromagnéticas com a criação de um magnon, em processos intrabanda de condução e por mecanismo indireto, em semicondutores ferromagnéticos, na presença de um campo magnético DC forte, é estudada. Mostra-se que o processo no qual a interação elétron-radiação é devida ao termo em A^2 é dominante sobre o em $\vec{A} \cdot \vec{p}$. Estimativas são feitas para campos magnéticos da ordem de 100 KG e parâmetros físicos característicos dos semicondutores em estudo. Finalmente, é feita uma análise do comportamento de $S_D^{(1)}$ com a geometria de espalhamento.

CAPÍTULO I

INTRODUÇÃO E FORMULAÇÃO DO PROBLEMA

- INTRODUÇÃO

O espalhamento Raman tem sido uma poderosa ferramenta na investigação das excitações elementares em sólidos. No caso de semicondutores magnéticos, o espalhamento Raman foi utilizado para investigar a influência da ordem magnética no espectro de fônons⁽¹⁻³⁾. Contudo, as dificuldades experimentais para se estudar mágns em materiais ferromagnéticos em geral, são consideráveis, principalmente pelo fato destas excitações terem frequências pequenas, para campos magnéticos fracos. Devido a isto é que só recentemente, utilizando técnica de múltiplas passagens, se observou pela primeira vez, espalhamento de luz por mágnon em isolantes ferromagnéticos⁽⁴⁾. Como consequência das melhorias das técnicas de detecção introduzidas por Sandercock e Wettleing⁽⁴⁾, o interesse pelo estudo de Raman de mágns foi reativado. Além disto, as dificuldades experimentais podem ser minimizadas utilizando-se campos magnéticos intensos, o que possibilita um aumento na frequência do mágnon.

Os mecanismos mais tradicionais para o tratamento do espalhamento de radiação por mágns envolvem a interação direta entre a radiação e o fon magnético. Bass e Kaganov⁽⁵⁾, Elliott e Loudon⁽⁶⁾ e Fleury e Loudon⁽⁷⁾ trataram Raman de mágns considerando este tipo de mecanismo.

Em semicondutores magnéticos, a presença de elétrons de condução torna possível a existência de um outro mecanismo, o qual denominaremos "indireto", que é mediado pelos portadores⁽⁸⁾; neste caso, a radiação interage com os elétrons de condução que por sua vez interagem com os elétrons localizados, dando origem a criação ou aniquila-

ção de m̄agnons, sendo o estado eletr̄nico inicial igual ao final. Foi mostrado por Coutinho e Miranda⁽⁸⁾ que a contribuição deste processo indireto é t̄o importante quanto o processo de Elliott e Loudon. Como a presença de campos magnéticos fortes facilita mais ainda a detecção de Raman de m̄agnons, nos propomos, no presente trabalho, a estudar as modificações introduzidas no mecanismo de espalhamento indireto devidas a presença de tais campos.

A influência de campos magnéticos fortes no espalhamento Raman por f̄ons tem sido bastante estudada. Em particular, Pessoa e Luzzi⁽⁹⁾ estudaram o espalhamento de luz por f̄ons considerando processos intrabanda como descritos nas fig. I.1 e I.2. É dito por estes autores que, o processo no qual a interação do campo de radiação com os el̄trons de condução é devida ao termo em A^2 (fig I.1), onde \vec{A} é o potencial vetor do campo de radiação, é "ressonante" quando a frequência do f̄onon (ω_0) é igual a um múltiplo da frequência de ciclotron dos el̄trons de condução (ω_c), e pode ser dominante sobre o processo devido ao termo em $\vec{A} \cdot \vec{p}$ (fig I.2) onde \vec{p} é o momento do el̄tron. No caso de semicondutores magnéticos, a frequência de ciclotron dos portadores é praticamente igual a frequência dos m̄agnons, e portanto, a "ressonância" mencionada por Pessoa e Luzzi⁽⁹⁾ é quase que natural. Assim sendo, estudaremos a seguir a contribuição dos processos das fig. I.1 e I.2 para o espalhamento Raman por m̄agnons, via el̄trons de condução, em semicondutores ferromagnéticos submetidos a um campo magnético DC forte.

Cálculamos no capítulo II a eficiência do espalhamento Raman por m̄agnons do processo da fig. I.1. No capítulo III fazemos o mesmo cálculo para o processo da fig.

I.2 e finalmente, no capítulo IV resultados numéricos para as eficiências calculadas nos capítulos I e II são obtidos:

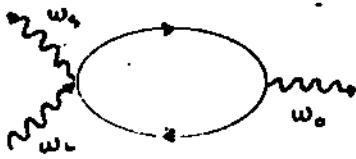


Fig. I.1

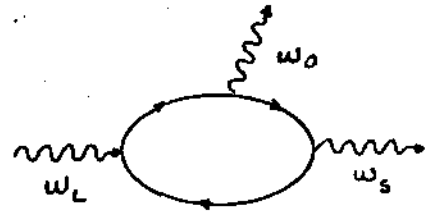


Fig. I.2

- FORMULAÇÃO DO PROBLEMA

O modelo utilizado para descrever o semicondutor é aquele que o trata como sendo formado por dois subsistemas; o sub-sistema de elétrons de condução e o de momentos localizados interagindo entre si (10). Assim, o Hamiltoniano do sistema escrito na forma adequada ao formalismo de segunda quantização é:

$$H = H_0 + H_{Em} + H_{ER}$$

onde

$$H_0 = \sum_{\alpha\sigma} \epsilon_{\alpha\sigma} c_{\alpha\sigma}^{\dagger} c_{\alpha\sigma} + \sum_q \hbar\omega_q b_q^{\dagger} b_q + \sum_k \hbar\omega_k a_k^{\dagger} a_k$$

Nesta equação

$$\epsilon_{\alpha\sigma} = \frac{\hbar^2 k^2}{2m^*} + \left(n + \frac{1}{2}\right) \hbar\omega_c - \sigma \hbar\omega_c - \epsilon \hbar\tilde{\omega}_s \quad (\text{eq. I.1})$$

Os dois primeiros termos da eq. I.1 referem-se a energia cinética dos elétrons, modificada devido a presença do campo externo (17), sendo ω_c a frequência de ciclotron ($\omega_c = \frac{eB}{m^*c}$), e e a carga do elétron, B o campo magnético, m^* a massa efetiva dos elétrons e c a velocidade da luz; o terceiro é a interação do campo magnético com o spin do elétron, e o último é devido a interação elétron localizado-elétron de condução (8,10-12), onde $k\tilde{\omega}_s = JS$, sendo J o parâmetro de troca entre os elétrons localizados e portadores e $\sigma = \pm 1/2$.

$c_{\alpha\sigma}^+$ ($c_{\alpha\sigma}$) é o operador de criação (aniquilação) de fêr - mions no estado $\alpha = n, k_x, k_z$, com componente σ do spin. $\hbar\omega_q$ é a energia do mágnon de vetor de onda \vec{q} que é dada por⁽¹⁹⁾

$$\hbar\omega_q = g \mu_B H + 2S J a^2 q^2.$$

onde g é o fator giromagnético, μ_B o magneton de Bohr, S o spin do íon e a o parâmetro da rede. b_q^+ (b_q) é o operador de criação (aniquilação) de mágnon com momento $\hbar\vec{q}$; Finalmente, $\hbar\omega_k$ é a energia do fôton de vetor de onda \vec{k} e a_k^+ (a_k) é o operador de criação (aniquilação) de fôtons.

H_{EM} é a interação elétron-mágnon que tem a forma⁽¹⁰⁻¹²⁾

$$\begin{aligned} H_{EM} = & -J \left(\frac{S}{2N} \right)^{1/2} \sum_{\alpha\alpha'q} \left(\langle \alpha | e^{-i\vec{q}\cdot\vec{r}} | \alpha' \rangle c_{\alpha\uparrow}^+ c_{\alpha'\downarrow} b_q^+ + c.c \right) + \\ & + \sum_{\sigma\alpha\alpha'} \sum_{qq'} \frac{gJ}{N} \langle \alpha | e^{-i(\vec{q}-\vec{q}')\cdot\vec{r}} | \alpha' \rangle c_{\alpha\sigma}^+ c_{\alpha'\sigma} b_q^+ b_{q'}^+ + \\ & + \sum_{\alpha\alpha'q\sigma} \{ V_{q\sigma} \langle \alpha | e^{-i\vec{q}\cdot\vec{r}} | \alpha' \rangle c_{\alpha\sigma}^+ c_{\alpha'\sigma} b_q^+ + c.c \} \\ & + \sum_{\alpha\alpha'q} \{ V_{\downarrow} \langle \alpha | e^{-i\vec{q}\cdot\vec{r}} | \alpha' \rangle c_{\alpha\uparrow}^+ c_{\alpha'\downarrow} b_q^+ + c.c \} \\ & + \sum_{\alpha\alpha'q} \{ V_{\uparrow} \langle \alpha | e^{-i\vec{q}\cdot\vec{r}} | \alpha' \rangle c_{\alpha\downarrow}^+ c_{\alpha'\uparrow} b_q^+ + c.c \} \end{aligned}$$

Os dois primeiros termos são devidos a interação de intercâmbio entre os elétrons localizados e os portadores, denominada s-d^(12,13). N é o número de momentos localizados e o elemento de matriz entre os estados α e α' é definido por

$$\langle \alpha | e^{-i\vec{q}\cdot\vec{r}} | \alpha' \rangle = \int \phi_{n\vec{k}}^*(r) e^{-i\vec{q}\cdot\vec{r}} \phi_{n'\vec{k}'}(r) d^3r$$

onde $\phi_{n\vec{k}}(r)$ são as funções de onda de Landau⁽¹⁷⁾ dadas por

$$\phi_{n\vec{k}}(r) = \frac{C_n}{\sqrt{l_x l_z}} e^{i(k_x x + k_z z)} e^{-\frac{1}{2} \left(\frac{y-y_0}{\lambda} \right)^2} H_n \left(\frac{y-y_0}{\lambda} \right)$$

sendo C_n uma constante de normalização dada por $(2^n n! \sqrt{\pi} \lambda)^{-1/2}$, $\lambda^2 = \frac{\hbar c}{eB}$, $y_0 = \frac{c k_x}{eB}$ e $H_n(\frac{y-y_0}{\lambda})$ são os polinômios de Hermite. Os tres últimos termos são devidos a interação dos spins dos portadores com o campo magnético gerado pelos momentos localizados, denominada interação dipolar⁽¹²⁾, onde

$$V_0 = 4\pi g \mu_B \left(\frac{2g\mu_B M_0}{V} \right)^{1/2} \frac{\sigma q_x q_y}{q^2 + i q_z^2}$$

$$V_1 = 2\pi g \mu_B \left(\frac{2g\mu_B M_0}{V} \right)^{1/2} \frac{q_x^2 + 2i q_x q_z}{q^2 + i q_z^2}$$

$$V_2 = 2\pi g \mu_B \left(\frac{2g\mu_B M_0}{V} \right)^{1/2} \frac{q_z}{q^2 + i q_z^2}$$

nesta equação $M_0 = \frac{g\mu_B N S}{V}$ é a magnetização de saturação V o volume, $q_x = q_x + i q_y$, $q_x^2 = q_x^2 + q_y^2$ e $q_z^2 = \frac{4\pi\sigma_c \omega q}{c^2}$ sendo σ_c a condutividade. cc indica complexo conjugado. H_{ER} é a interação elétron-radiação, que tem a forma

$$H_{ER} = \sum_{\substack{\alpha\alpha'\sigma \\ \kappa\kappa'}} A_{\kappa\kappa'} \left\{ \langle \alpha | e^{i(\kappa-\kappa') \cdot \vec{r}} | \alpha' \rangle c_{\alpha\sigma}^+ c_{\alpha\sigma} a_{\kappa}^+ a_{\kappa} + cc \right\} + \sum_{\substack{\alpha\alpha'\sigma \\ \kappa\kappa'}} A(\omega_{\kappa}) \langle \alpha | \frac{\vec{e}_{\kappa} \cdot \vec{p}}{m^*} e^{i\vec{\kappa} \cdot \vec{r}} | \alpha' \rangle c_{\alpha\sigma}^+ c_{\alpha\sigma} a_{\kappa} + cc \right\}$$

onde $A_{\kappa\kappa'} = \frac{2\pi \hbar e^2 \vec{e}_{\kappa} \cdot \vec{e}_{\kappa'}}{\epsilon V m^* \omega_{\kappa} \omega_{\kappa'}}$, sendo \vec{e}_{κ} o versor na direção da polarização do fóton de vetor de onda κ e ϵ a constante dielétrica. $A(\omega)$ é dado por $A(\omega) = \left(\frac{2\pi \hbar e^2}{\epsilon V \omega_{\kappa}} \right)^{1/2}$

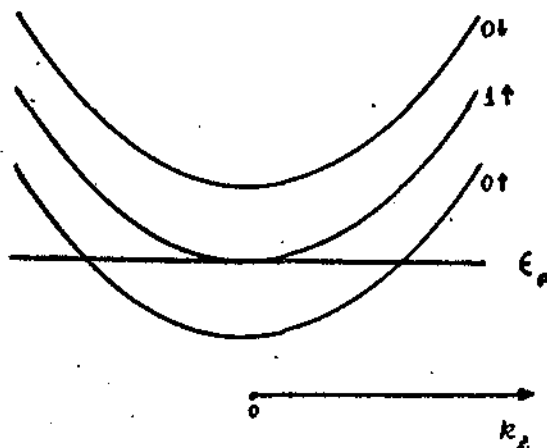


Fig. I.3

Iremos supor que o semiconductor em estudo tem seu nível de Fermi coincidente com o ponto mais baixo da sub-banda 1 \uparrow como mostrado na fig. I.3 , o que significa termos uma densidade de portadores da ordem de 10^{13} cm^{-3} .

CAPÍTULO II

OBTENÇÃO DA EFICIÊNCIA RAMAN DO
PROCESSO DA FIG. I.1

Neste capítulo calcularemos a eficiência Raman do processo de espalhamento Raman intrabanda de um m̄gnon, no qual a interação elétron-radiação é devida ao termo em A^2 (\vec{A} , o potencial vetor do campo incidente) fig. I.1. O elemento de matriz que devemos calcular é $\langle f | S^{(2)} | i \rangle$, onde $|i\rangle$ ($|f\rangle$) é o estado inicial (final) e $S^{(2)}$ é o termo de segunda ordem da expansão de S , dado por

$$S^{(2)} = \frac{1}{2} \left(-\frac{i}{\hbar} \right)^2 \int_{-\infty}^{\infty} dt_1 \int_{-\infty}^{\infty} dt_2 P \{ V_I(t_1) V_I(t_2) \} \quad (\text{eq. II.1})$$

Os termos $S^{(0)}$ e $S^{(1)}$ correspondem respectivamente ao espalhamento elástico e ao espalhamento com interação radiação-m̄gnon direta.

II.1 - CÁLCULO DO ELEMENTO DE MATRIZ

O Hamiltoniano de interação H_I é dado por

$$H_I = H_{eR} + H_{dip}$$

onde H_{eR} é a interação elétron-radiação cujo termo relevante para nossos cálculos é dado por

$$V_{eR} = A_0 e^{i(\vec{k}_L - \vec{k}_s) \cdot \vec{r}} a_s^\dagger a_L$$

o sub-índice L (s) indica que a grandeza corresponde ao feixe incidente (espalhado), \vec{k}_L é o vetor de onda da radiação, a^\dagger (a) é o operador de criação (aniquilação) de f̄tons e A_0 é dado por

$$A_0 = \frac{2\pi \hbar e^2 \vec{e}_L \cdot \vec{e}_s}{\epsilon V m^* \sqrt{\omega_L \omega_s}} \quad (\text{eq. II.2})$$

sendo e a carga do elétron, \vec{e}_L o versor na direção da polarização, ϵ a constante dielétrica, V o volume, m^* a

massa efetiva-dos elêtron e ω a frequência.

Como estamos interessados no espalhamento por um m̄agnon e como a interação com o campo eletromagnético não envolve mudança no estado de spin dos portadores, o único termo da interação elêtron-m̄agnon que contribui para o processo é o termo dipolar dado por (vide eq. I.2):

$$V_{d,p} = \sum_{q\sigma} V_{q\sigma} b_q^+$$

onde

$$V_{q\sigma} = 4\pi g \mu_B \left(\frac{2g \mu_B M_0}{V} \right)^{1/2} \frac{\sigma q_x q_y}{q^2 + i q_z^2} \quad (\text{eq II.3})$$

sendo $\sigma = \pm 1/2$, \vec{q} o vetor de onda do m̄agnon, $q_x = q_x + i q_y$, M_0 a magnetização de saturação dada por $M_0 = \frac{g \mu_B N S}{V}$, $q_z^2 = \frac{4\pi \sigma_c \omega}{c^2}$ (σ_c a condutividade), μ_B é o magneton de Bohr, g é o fator giromagnético do elêtron e c a velocidade da luz. (vide apêndice I).

Na forma adequada ao formalismo de segunda quantização, temos

$$V_{ER} = A_0 \sum_{\alpha_1, \alpha_2, \alpha_3} \lambda_{\alpha_2, \alpha_3}(\vec{k}_1, \vec{k}_2) e^{-i(\omega_1 - \omega_2)t} a_{\alpha_2}^+ a_{\alpha_1} c_{\alpha_3, \sigma}^+(t) c_{\alpha_1, \sigma}(t) \quad (\text{eq II.4})$$

$$V_{d,p} = \sum_{q\sigma} V_{q\sigma} \sum_{\alpha_3, \alpha_4} \lambda_{\alpha_4, \alpha_3}(-\vec{q}) e^{i\omega_q t} b_q^+ c_{\alpha_4, \sigma}^+(t) c_{\alpha_3, \sigma}(t) \quad (\text{eq II.5})$$

nestas equações α corresponde ao estado $n\vec{k}$ ($\vec{k} \rightarrow k_x, k_y$), $c_{\alpha, \sigma}^+$ ($c_{\alpha, \sigma}$) é o operador de criação (aniquilação) de fêrmions com $n\vec{k}$ e spin σ , $\omega_q = \omega_0 + Dq^2$ e $\lambda_{\alpha_4, \alpha_3}(\vec{k})$ é dado por⁽¹⁴⁾

$$\begin{aligned} \lambda_{\alpha_4, \alpha_3}(\vec{k}) &= \int d^3r \phi_{n_1, \vec{k}_1}^+(r) e^{i\vec{k}_1 \cdot \vec{r}} \phi_{n_2, \vec{k}_2}(r) \\ &= \delta_{\vec{k}_1, \vec{k}_2 + \vec{k}} (\delta_{n_1, n_2} - a(\vec{k}) \sqrt{\frac{n+1}{2}} \delta_{n_1, n_2+1}). \end{aligned} \quad (\text{eq II.6})$$

$$\begin{aligned} \lambda_{\alpha_4, \alpha_3}(-\vec{k}) &= \int d^3r \phi_{n_1, \vec{k}_1}^+(r) e^{-i\vec{k}_1 \cdot \vec{r}} \phi_{n_2, \vec{k}_2}(r) \\ &= \delta_{\vec{k}_1, \vec{k}_2 - \vec{k}} (\delta_{n_1, n_2} - a(\vec{k}) \sqrt{\frac{n}{2}} \delta_{n_1, n_2-1}) \end{aligned} \quad (\text{eq II.7})$$

onde $a(\vec{k}) = \left(\frac{\hbar k_j^2}{m^* \omega_c} \right)^2$, e o resultado da integral foi expandido em $a(\vec{k})$ sendo tomados apenas os dois primeiros termos.

Substituindo V_x na eq. II.1 pelas eqs. II.4 e II.5, encontramos dois termos dentro do parêntese sobre o qual atua o operador de Dyson. Permutando t_1 por t_2 em um deles, estes termos tornam-se iguais. Assim sendo, substituindo o operador P pelo operador T de Wick⁽¹⁵⁾ obtemos a seguinte expressão para o elemento de matriz:

$$\begin{aligned} \langle f | S^{(2)} | i \rangle &= \frac{A_0 \sqrt{n_1(n_1+1)}}{\hbar^2} \sum_{\substack{\alpha_1, \alpha_2 \\ \alpha_3, \alpha_4}} \sum_{\substack{\sigma_1, \sigma_2 \\ \sigma_3, \sigma_4}} \sqrt{n_1+1} V_{q\sigma} \lambda_{\alpha_1, \alpha_2}(\vec{k}_1 - \vec{k}_2) \times \\ &\times \lambda_{\alpha_3, \alpha_4}(-\vec{q}) \int_{-\infty}^{\infty} dt_1 \int_{-\infty}^{\infty} dt_2 e^{-i(\omega_1 - \omega_2)t_1} e^{i\omega_1 t_2} \times \\ &\times \langle T \{ c_{\alpha_3, \sigma_3}^+(t_1) c_{\alpha_1, \sigma_1}(t_1) c_{\alpha_4, \sigma_4}^+(t_2) c_{\alpha_2, \sigma_2}(t_2) \} \rangle \end{aligned} \quad (\text{eq. II.8})$$

aqui usamos que o estado eletrônico final é o mesmo que o inicial.

Usando o teorema de Wick⁽¹⁶⁾ para expandir o produto cronológico, obtemos

$$\begin{aligned} \langle T \{ c_{\alpha_2, \sigma_2}^+(t_1) c_{\alpha_1, \sigma_1}(t_1) c_{\alpha_4, \sigma_4}^+(t_2) c_{\alpha_3, \sigma_3}(t_2) \} \rangle &= \\ &= -\delta_{\alpha_2, \alpha_3} \delta_{\sigma_2, \sigma_3} \delta_{\alpha_4, \alpha_1} G_{\alpha_2}^{\circ}(t_2, t_1) G_{\alpha_3}^{\circ}(t_1, t_2) - \\ &= \delta_{\sigma_1, \sigma_2} \delta_{\alpha_2, \alpha_3} \delta_{\alpha_1, \alpha_4} G_{\alpha_2}^{\circ}(t_1, t_2) G_{\alpha_1}^{\circ}(t_2, t_1) \end{aligned} \quad (\text{eq. II.9})$$

onde $G_{\alpha}^{\circ}(t, t') = \overline{c_{\alpha\sigma}(t) c_{\alpha\sigma}^+(t')} = \langle T \{ c_{\alpha\sigma}(t) c_{\alpha\sigma}^+(t') \} \rangle$

é calculada no apêndice II e tem a seguinte expressão

$$G_{\alpha}^{\circ}(t, t') = \int_{-\infty}^{\infty} \frac{d\omega}{2\pi} e^{-i\omega(t-t')} \left\{ \frac{\theta(|k^*| - k_{F0}^*(n))}{\omega - \omega_{nc}(k^*) - i\eta} + \frac{\theta(k_{F0}^*(n) - |k^*|)}{\omega - \omega_{nc}(k^*) - i\eta} \right\} \quad (\text{eq. II.10})$$

sendo $k_{F\sigma}^z(n) = \left| \frac{2m^*}{\hbar^2} \left[\epsilon_F - \left(n + \frac{1}{2}\right) \hbar \omega_c - \sigma (\hbar \tilde{\omega}_3 + \hbar \omega_c) \right] \right|^{1/2}$ eq. II.10.a

e $\omega_{n\sigma}(k^z) = \frac{\hbar k^z^2}{2m^*} + \left(n + \frac{1}{2}\right) \omega_c - \sigma (\tilde{\omega}_3 + \omega_c)$

É fácil verificar que $G_\alpha^0(t_1, t_2)$ e $G_\alpha^0(t_2, t_1)$ não contribuem. Desta maneira, substituindo II.9 em II.8, efetuando a soma em α_3 , α_4 e σ_2 , considerando $n_3=0$ por estarmos interessados apenas no espalhamento espontâneo e $n_q=0$ por estarmos a temperatura zero, obtemos

$$\langle f | S^{(2)} | i \rangle = - \frac{A_0 \sqrt{n_c}}{\hbar} \sum_{\alpha_1, \alpha_2} \lambda_{\alpha_2, \alpha_1}(\bar{k}_c - \bar{k}_s) \lambda_{\alpha_1, \alpha_2}(-\bar{q}) \times$$

$$\times \int_{-\infty}^{\infty} dt_1 \int_{-\infty}^{\infty} dt_2 e^{-i(\omega_c - \omega_s)t_1} e^{-i\omega_q t_2} \int \frac{d\omega_1}{2\pi} \int \frac{d\omega_2}{2\pi}$$

$$\times e^{-i\omega_1(t_1 - t_2)} e^{-i\omega_2(t_2 - t_1)} f(k_s^z, k_2^z, \omega_s, \omega_2, n_s, n_2)$$

onde $f(k_s^z, k_2^z, \omega_s, \omega_2, n_s, n_2) = \prod_{\sigma=1}^2 \left\{ \frac{\theta(|k_s^z| - k_{F\sigma}^z(n_s))}{\omega_c - \omega_{n_s, \sigma}(k_s^z) + i\eta} + \frac{\theta(k_{F\sigma}^z(n_s) - |k_s^z|)}{\omega_c - \omega_{n_s, \sigma}(k_s^z) - i\eta} \right\}$

Integrando em t_1 e t_2 , ω_1 e ω_2 obtemos o seguinte resultado

$$\langle f | S^{(2)} | i \rangle = \frac{A_0 \sqrt{n_c}}{\hbar^2} 2\pi i \sum_{\substack{n_s, \bar{k}_s \\ n_2, \bar{k}_2}} \sum_{\sigma q} V_{q\sigma} \lambda_{n_s, \bar{k}_s, n_2, \bar{k}_2}(-\bar{q}) \times$$

$$\lambda_{n_2, \bar{k}_2, n_s, \bar{k}_s}(\bar{k}_c - \bar{k}_s) \left\{ \frac{\theta(|k_2^z| - k_{F\sigma}^z(n_2)) \theta(k_{F\sigma}^z(n_s) - |k_s^z|)}{\omega_{n_s, \sigma}(k_s^z) + \omega_q - \omega_{n_2, \sigma}(k_2^z)} + \right.$$

$$\left. + \frac{\theta(|k_s^z| - k_{F\sigma}^z(n_s)) \theta(k_{F\sigma}^z(n_2) - |k_2^z|)}{\omega_{n_2, \sigma}(k_2^z) - \omega_q - \omega_{n_s, \sigma}(k_s^z)} \right\} \delta(\omega_c - \omega_s - \omega_q)$$

(eq. II.11)

que é representado pelos diagramas abaixo

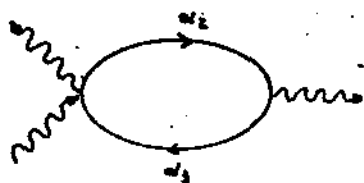


Fig. II.1

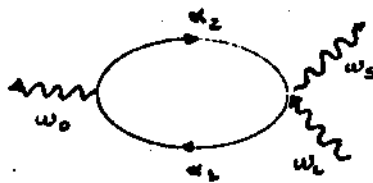


Fig. II.2

Note-se que o processo descrito na fig. II.2, correspondente ao segundo termo da eq. II.11, não é fisicamente possível, uma vez que o estado α_1 representa a sub-banda σ_f que esta totalmente preenchida, consequentemente a passagem para α_2 devida a emissão de um magnon, significa que o elétron passou para um outro estado dentro da mesma sub-banda σ_f o que não é permitido pelo princípio de exclusão de Pauli. Assim sendo, este termo não contribue para o espalhamento e nos cálculos que se seguem consideraremos apenas o primeiro termo da eq. II.11 e transições inter sub-bandas.

Substituindo as expressões dos λ 's, efetuando o somatório em q e considerando $q^2 \ll k^2$ obtemos

$$\langle f | S^{(2)} | i \rangle = \frac{A_0 \sqrt{n_i}}{\hbar^2} 2\pi i \sum_{\vec{k}_s} \frac{\hbar q_s^2}{2m^* \omega_c} V q_n$$

$$\frac{\delta(\omega_c - \omega_s - \omega_q) \theta(|k_{f1}^z| - k_{F1}^z(s)) \theta(k_{F1}^z(0) - |k_i^z|)}{\omega_{\sigma_f}(k_s^z) + \omega_q - \omega_{\sigma_f}(k^z + q^z)}$$

onde $\vec{q} = \vec{k}_i - \vec{k}_s$ e $q_s^2 = q_x^2 + q_y^2$

O somatório em k_x nos dá simplesmente $\frac{L^2}{2\pi\lambda^2}$ e o em k^2 pode ser substituído por uma integral na forma

$$\sum_{k^2} \longrightarrow \frac{L}{2\pi} \int_{-\infty}^{\infty} dk^2$$

Desta maneira, substituindo a expressão de $\omega_{n_0}(k_x)$ no denominador, obtemos:

$$\langle f | S^{(2)} | i \rangle = \frac{-i V A_0 \sqrt{n_L} q_{\perp}^2}{4\pi \lambda^2 \hbar m^* \omega_c} V_{q_{\uparrow}} \delta(\omega_c - \omega_s - \omega_q)$$

$$\times \int_{-\infty}^{\infty} dk^2 \frac{\theta(1k^2 - k_{F\uparrow}^2(1)) \theta(k_{F\uparrow}^2(0) - 1k^2)}{\frac{\hbar q^2 k^2}{m^*} + \omega_c - \omega_q}$$

Assim

$$\langle f | S^{(2)} | i \rangle = -i \frac{A_0 V \sqrt{n_L} q_{\perp}^2}{4\pi \lambda^2 \hbar^2 q^2 \omega_c} V_{q_{\uparrow}} \times$$

$$\delta(\omega_c - \omega_s - \omega_q) \int_{k_{F\uparrow}^2(1)}^{k_{F\uparrow}^2(0)} dk^2 \left\{ \frac{1}{k^2 + b} - \frac{1}{k^2 - b} \right\}$$

onde $b = \frac{m^*}{\hbar q^2} \ell \omega_c$ e $\ell = 1 - \frac{\omega_q}{\omega_c}$

Resolvendo a integral, $\langle f | S^{(2)} | i \rangle$ toma a seguinte forma:

$$\langle f | S^{(2)} | i \rangle = -i \frac{V A_0 \sqrt{n_L} q_{\perp}^2}{4\pi \lambda^2 \hbar^2 q^2 \omega_c} V_{q_{\uparrow}} \delta(\omega_c - \omega_s - \omega_q)$$

$$\left(\ln \frac{|k_{F\uparrow}^2(0) + b|}{|k_{F\uparrow}^2(1) + b|} - \ln \frac{|k_{F\uparrow}^2(0) - b|}{|k_{F\uparrow}^2(1) - b|} \right)$$

(eq. II.12)

II.2 - CÁLCULO DA EFICIÊNCIA RAMAN

A eficiência Raman S_R , definida como a probabilidade de um fóton ser espalhado dentro de um ângulo sólido Ω , após atravessar o cristal, é dada por

$$S_R = \frac{\epsilon^{1/2} L P_{ji}(\Omega)}{c n_L} \quad (\text{eq II.13})$$

onde L é o comprimento do cristal e $P_{ji}(\Omega)$ é a probabilidade por unidade de tempo de existir fóton espalhado dentro de Ω , e é dada por:

$$P_{ji}(\Omega) = \Omega \int (k_s^2)^2 dk_s^2 P_{ji} = \Omega \frac{\epsilon^{3/2}}{c^3} \frac{V}{(2\pi)^3} \int d\omega_s \omega_s^2 P_{ji} \quad (\text{eq. II.14})$$

onde estamos supondo que o ângulo sólido é pequeno. P_{ji} é a probabilidade de espalhamento por unidade de tempo

$$P_{ji} = \lim_{t \rightarrow \infty} \frac{| \langle f | S^{(2)} | i \rangle |^2}{t}$$

Usando a relação: $[\delta(\omega_L - \omega_s - \omega_q)]^2 = \frac{\delta(\omega_L - \omega_s - \omega_q)}{2\pi} \lim_{t \rightarrow \infty} t$, e a expressão do elemento de matriz dada pela eq. II.12, obtemos:

$$P_{ji} = \frac{V^2 |A_0|^2 n_L q_+^4 |V_{q+}|^2}{32 \pi^3 \lambda^4 \hbar^4 \omega_c^2 q_+^2} \delta(\omega_L - \omega_s - \omega_q) \left| \ln \frac{|k_{F+}^2(0) + b| |k_{F+}^2(1) - b|}{|k_{F+}^2(1) + b| |k_{F+}^2(0) - b|} \right|^2 \quad (\text{eq. II.15})$$

Substituindo P_{ji} , dada pela equação acima, na eq. II.14, resolvendo a integral e levando o resultado para a eq. II.13, obtemos para a eficiência Raman a seguinte expressão:

$$S_R^{(1)} = \Omega L \frac{\epsilon^2 V^3 |A_0|^2 q_{\perp}^4 |V_{q_{\uparrow}}|^2 \omega_s^2}{256 \pi^6 c^4 \lambda^4 \hbar^4 \omega_c^2 q_{\perp}^2} \times$$

$$\times \left| \rho_{\eta} \frac{|k_{F\uparrow}^2(0) + b| |k_{F\uparrow}^2(1) - b|}{|k_{F\uparrow}^2(1) + b| |k_{F\uparrow}^2(0) - b|} \right|^2$$

onde $\omega_s = \omega_L - \omega_q$

Quando substituímos os valores de A_0 e $V_{q_{\uparrow}}$ dados pelas eqs. II.2 e II.3, respectivamente, e as simplificações possíveis são feitas, obtemos como resultado final

$$S_R^{(1)} = \Omega L \frac{e^4 q_{\perp}^4 \mu_0^4 s (\vec{e}_L \cdot \vec{e}_s)^2 q_{\perp}^2}{8 \pi^2 c^4 \lambda^4 m^{*2} \omega_c^2 \hbar^2} \left(\frac{q_{\perp}^4}{q_{\perp}^4 + q_{\parallel}^4} \right) \times$$

$$\left(\frac{N}{V} \right) \left(\frac{\omega_s}{\omega_L} \right) \left| \rho_{\eta} \frac{|k_{F\uparrow}^2(0) + b| |k_{F\uparrow}^2(1) - b|}{|k_{F\uparrow}^2(1) + b| |k_{F\uparrow}^2(0) - b|} \right|^2$$

(eq. II.16)

Note-se que a eficiência vai a zero para as seguintes geometrias:

- a) Direção da polarização incidente é perpendicular a direção da polarização espalhada. ($\vec{e}_L \cdot \vec{e}_s = 0$)
- b) $\vec{k}_L \parallel \vec{k}_s$ e $\vec{e}_L \cdot \vec{e}_s$ qualquer e a incidência na direção do campo externo aplicado ($q_{\parallel}^2 \rightarrow 0$).
- c) $\vec{k}_L \parallel \vec{k}_s$ e $\vec{e}_L \cdot \vec{e}_s$ qualquer e a incidência na direção perpendicular ao campo aplicado. (b torna-se muito grande)

Uma geometria bastante favorável ao espalhamento é quando a direção de incidência forma um ângulo de 77° com o campo externo e as polarizações incidente e espalhada são paralelas ou antiparalelas.

A estimativa numérica da eficiência Raman dada pela eq. II.16, bem como sua comparação com a dos outros processos de espalhamento serão discutidas no capítulo IV.

CAPÍTULO III

OBTENÇÃO DA EFICIÊNCIA RAMAN DO
PROCESSO DA FIG. I.2

Calcularemos aqui as eficiências Raman dos processos de espalhamento Raman intrabanda com a criação de um m̄agnon, nos quais tres vertex de interaçāo estāo envolvidos. Estes processos correspondem ao espalhamento onde a interaçāo elētron de conduçāo-campo de radiaçāo ē devida ao termo em $\vec{A} \cdot \vec{p}$ (fig. I.2). Neste caso o elemento de matriz que devemos calcular ē $\langle f | S^{(3)} | i \rangle$ onde $|i\rangle$ e $|f\rangle$ sāo respectivamente, o estado inicial e o final, $S^{(3)}$ ē o termo de terceira ordem da expansāo da matriz S , dado por

$$S^{(3)} = \frac{1}{3!} \left(\frac{-i}{\hbar} \right)^3 \int_{-\infty}^{\infty} dt_1 \int_{-\infty}^{\infty} dt_2 \int_{-\infty}^{\infty} dt_3 \rho \{ H_I(t_1) H_I(t_2) H_I(t_3) \} \quad (\text{eq III.1})$$

Consideraremos o mecanismo de interaçāo indireto descrito no capitulo I.

III.1 CÁLCULO DO ELEMENTO DE MATRIZ

O Hamiltoniano de interaçāo, H_I , ē dado por

$$H_I = H_{ER}^L + H_{d,p} + H_{ER}^S$$

onde H_{ER}^L , H_{ER}^S representam os termos da interaçāo elētron-radiaçāo.

A parte relevante de cada termo do Hamiltoniano de interaçāo, jā escrito na forma adequada a segunda quantizaçāo, ē dada por

$$V_{ER}^L = A(\omega_L) \sum_{\substack{\alpha_1 \alpha_2 \\ \sigma_1 \sigma_2}} \mu_{\alpha_1 \alpha_2}(\vec{k}_L) e^{-i\omega_L t} c_{\alpha_2 \sigma_2}^+(t) c_{\alpha_1 \sigma_1}(t) a_L \quad (\text{eq III.2})$$

$$V_{ER}^S = A(\omega_S) \sum_{\substack{\alpha_3 \alpha_4 \\ \sigma_3 \sigma_4}} \mu_{\alpha_3 \alpha_4}(-\vec{k}_S) e^{-i\omega_S t} c_{\alpha_3 \sigma_3}^+(t) c_{\alpha_4 \sigma_4}(t) a_S^+ \quad (\text{eq III.3})$$

onde $A(\omega) = \left(\frac{2\pi\hbar e^2}{\epsilon V \omega} \right)^{1/2}$, a^+ (a) ē o operador de criaçāo (aniquilaçāo) de fōtons, $c_{\alpha\sigma}^+$ ($c_{\alpha\sigma}$) ē o operador de criaçāo fērmions no estado $\alpha\sigma$ e $\mu_{\alpha\alpha}$ ē a integral

$$\mu_{\alpha\alpha'}(\vec{k}_i) = \int \phi_{\alpha'}^*(r) e^{i\vec{k}_i \cdot \vec{r}} (\vec{e}_i \cdot \hat{\vec{v}}) \phi_{\alpha}(r)$$

onde $\hat{\vec{v}}$ é o operador $\frac{1}{m^*}(\hat{p} - e\vec{A}_0)$, \vec{A}_0 o potencial vetor do campo externo, cujo resultado é dado por

$$\begin{aligned} \mu_{n'\bar{n}', n\bar{n}}(\vec{k}_i) = & \delta_{\vec{k}_i, \vec{k} + \vec{k}_L} \frac{1}{\sqrt{2}} \left[2 \left(\frac{\hbar\omega_i}{m^*} \right)^{1/2} \cos^2\left(\frac{\theta_i}{2}\right) \sqrt{\frac{n+1}{2}} \delta_{n', n+1} \right. \\ & \left. - \frac{\hbar k_z}{m^*} \sin \theta_i \delta_{n', n} \right] \end{aligned} \quad (\text{eq III.4})$$

θ_i é o ângulo que \vec{k}_L faz com a direção do campo externo.

$$\begin{aligned} \mu_{n'\bar{n}', n\bar{n}}(-\vec{k}_s) = & \delta_{\vec{k}_s, \vec{k} - \vec{k}_s} \frac{1}{\sqrt{2}} \left[2 \left(\frac{\hbar\omega_s}{m^*} \right)^{1/2} \cos^2\left(\frac{\theta_s}{2}\right) \sqrt{\frac{n}{2}} \delta_{n', n-1} \right. \\ & \left. - \frac{\hbar k_z}{m^*} \sin \theta_s \delta_{n', n} \right] \end{aligned} \quad (\text{eq III.5})$$

θ_s é o ângulo que \vec{k}_s faz com \vec{z} , direção do campo externo.

V_{dip} é dado pela eq. II.3.

Substituindo a expressão de H_I na eq. III.1 obtemos para $S^{(3)}$ a seguinte expressão:

$$\begin{aligned} S^{(3)} = & \frac{1}{3!} \left(\frac{-i}{\hbar} \right)^3 \int_{-\infty}^{\infty} dt_1 \int_{-\infty}^{\infty} dt_2 \int_{-\infty}^{\infty} dt_3 P \left\{ V_{ER}^S(t_3) V_{dip}(t_2) V_{ER}^L(t_1) + \right. \\ & \left. + V_{ER}^S(t_2) V_{dip}(t_3) V_{ER}^L(t_1) + 4 \text{ termos idênticos} \right\} \end{aligned} \quad (\text{eq III.6})$$

Permutando convenientemente t_1, t_2 e t_3 em cinco termos, podemos deixá-los iguais ao sexto, obtendo assim seis termos iguais dentro do parêntese sobre o qual atua o operador P de Dyson. Neste caso também tratamos com operadores de férmions em pares, assim sendo, podemos substituir o operador de Dyson pelo de Wick (T), obtendo assim

para o elemento de matriz, quando substituimos as expressões de V_{ER}^1 , V_{ER}^2 e V_{dip} dadas pelas equações III.2, III.3 e II.3, respectivamente, o seguinte resultado:

$$\begin{aligned} \langle f | S^{(1)} | i \rangle = & \frac{e}{R^3} \sum_{\sigma_1 \sigma_2} \sum_{\substack{\alpha_1 \alpha_2 \alpha_3 \\ \sigma_3 \sigma_4 \sigma_5 \sigma_6}} A(\omega_1) A(\omega_2) V_{q\sigma_2} \sqrt{n_2(n_2+1)(n_4+1)} \times \\ & \times \mu_{\alpha_6 \sigma_6} (-\vec{k}_2) \lambda_{\alpha_4 \sigma_4} (-\vec{q}) \mu_{\alpha_2 \sigma_2} (k_1) \int_{-\infty}^{\infty} dt_1 \int_{-\infty}^{\infty} dt_2 \int_{-\infty}^{\infty} dt_3 e^{-i\omega_1 t_1} e^{-i\omega_2 t_2} e^{-i\omega_3 t_3} \times \\ & \times \left\langle T \left\{ c_{\alpha_6 \sigma_6}^+(t_3) c_{\alpha_5 \sigma_5}(t_3) c_{\alpha_4 \sigma_4}^+(t_2) c_{\alpha_3 \sigma_3}(t_2) c_{\alpha_2 \sigma_2}^+(t_1) c_{\alpha_1 \sigma_1}(t_1) \right\} \right\rangle \end{aligned}$$

(eq. III.7)

Usando o teorema de Wick⁽¹⁵⁾ para expandir o produto cronológico obtemos que apenas dois termos são importantes, desde que todos os demais ou são identicamente nulos, devido ao fato que $0 = \overline{c_{\alpha\sigma}(t) c_{\alpha\sigma}(t)} = \overline{c_{\alpha\sigma}^+(t) c_{\alpha\sigma}^+(t)}$ ou tem valor médio zero, termos contendo fator com produto normal de operadores não contraídos. Devido a isto, o produto cronológico pode ser escrito como

$$\begin{aligned} \langle T \{ c_{\alpha_6 \sigma_6}^+(t_3) \dots \} \rangle = & \\ = & \overline{c_{\alpha_6 \sigma_6}^+(t_3) c_{\alpha_3 \sigma_3}(t_3)} \overline{c_{\alpha_5 \sigma_5}(t_2) c_{\alpha_4 \sigma_4}^+(t_2)} \overline{c_{\alpha_2 \sigma_2}(t_1) c_{\alpha_1 \sigma_1}^+(t_1)} + \\ & + \overline{c_{\alpha_6 \sigma_6}^+(t_3) c_{\alpha_3 \sigma_3}(t_2)} \overline{c_{\alpha_2 \sigma_2}(t_1) c_{\alpha_5 \sigma_5}(t_1)} \overline{c_{\alpha_4 \sigma_4}^+(t_2) c_{\alpha_1 \sigma_1}(t_1)} \end{aligned}$$

(eq. III.8)

Definimos $\overline{c_{\alpha\sigma}(t) c_{\alpha'\sigma'}^+(t')} = \langle T \{ c_{\alpha\sigma}(t) c_{\alpha'\sigma'}^+(t') \} \rangle$
 $= i G_{\alpha\sigma}^{\alpha'\sigma'}(t, t')$

que calculamos no apêndice I e que tem a seguinte expressão:

$$G_{\alpha\sigma}^{\alpha'\sigma'}(t, t') = \delta_{\alpha'\alpha} \delta_{\sigma'\sigma} G_{\alpha\sigma}^0(t, t')$$

onde $G_{\alpha}^{\circ}(t, t')$ é dada na eq. II.10.

Substituindo a expansão do produto cronológico, a expressão de $G_{\alpha}^{\circ}(t, t')$ e efetuando o somatório em $\alpha_4, \alpha_5, \alpha_6, \sigma_2$ e σ_3 , obtemos para a eq. III.7 a seguinte forma:

$$\begin{aligned} \langle f | S^{(3)} | i \rangle = & i \frac{A(\omega_1) A(\omega_2) \sqrt{n_1}}{\hbar^3} \sum_{q\sigma} v_{q\sigma} \sum_{\alpha_1, \alpha_2, \alpha_3} \left\{ \mu_{\alpha_1, \alpha_3}(-\vec{k}_5) \lambda_{\alpha_3, \alpha_2}(-\vec{q}) \times \right. \\ & \times \mu_{\alpha_2, \alpha_3}(\vec{k}_1) \int_{-\infty}^{\infty} \frac{d\omega_1}{2\pi} \int_{-\infty}^{\infty} \frac{d\omega_2}{2\pi} \int_{-\infty}^{\infty} \frac{d\omega_3}{2\pi} \int_{-\infty}^{\infty} dt_1 \int_{-\infty}^{\infty} dt_2 \int_{-\infty}^{\infty} dt_3 e^{-i\omega_1(t_1-t_2)} e^{-i\omega_2(t_2-t_3)} \\ & \times e^{-i\omega_3(t_3-t_2)} e^{-i\omega_1 t_1} e^{i\omega_2 t_2} e^{i\omega_3 t_3} + \mu_{\alpha_3, \alpha_2}(-\vec{k}_5) \lambda_{\alpha_1, \alpha_3}(-\vec{q}) \mu_{\alpha_2, \alpha_3}(\vec{k}_1) \times \\ & \times \int_{-\infty}^{\infty} \frac{d\omega_1}{2\pi} \int_{-\infty}^{\infty} \frac{d\omega_2}{2\pi} \int_{-\infty}^{\infty} \frac{d\omega_3}{2\pi} \int_{-\infty}^{\infty} dt_1 \int_{-\infty}^{\infty} dt_2 \int_{-\infty}^{\infty} dt_3 e^{-i\omega_1(t_1-t_2)} e^{-i\omega_2(t_3-t_2)} \\ & \times \left. e^{-i\omega_3(t_2-t_3)} e^{-i\omega_1 t_1} e^{i\omega_2 t_2} e^{-i\omega_3 t_3} \right\} \times \\ & \times f(k_1^2, k_2^2, k_3^2, \omega_1, \omega_2, \omega_3, n_1, n_2, n_3) \end{aligned}$$

(eq III.9)

onde consideramos apenas o espalhamento espontâneo ($n_3 = 0$).

Na eq. III.9 f é dada por

$$f(k_1^2, k_2^2, k_3^2, \omega_1, \omega_2, \omega_3, n_1, n_2, n_3) = \prod_{i=1}^3 \left\{ \frac{\theta(|k_i|^2 - k_{F_i}^2(n_i))}{\omega_i - \omega_{n_i, \sigma}(k_i^2) + i\eta} + \frac{\theta(k_{F_i}^2(n_i) - |k_i|^2)}{\omega_i - \omega_{n_i, \sigma}(k_i^2) - i\eta} \right\}$$

e $k_{F_i}^2(n)$ é dado pela eq. II.10-a

Integrando em t_1, t_2, t_3, ω_1 e ω_3 a eq. III.9 toma a forma

$$\begin{aligned} \langle f | S^{(3)} | i \rangle = & i \frac{A(\omega_1) A(\omega_2) \sqrt{n_1}}{\hbar^3} \sum_{q\sigma} v_{q\sigma} \sum_{\alpha_1, \alpha_2, \alpha_3} \left\{ \mu_{\alpha_1, \alpha_3}(-\vec{k}_5) \lambda_{\alpha_3, \alpha_2}(-\vec{q}) \times \right. \\ & \times \mu_{\alpha_2, \alpha_3}(k_1) \int_{-\infty}^{\infty} d\omega_2 f(k_1^2, k_2^2, k_3^2, \omega_1, \omega_2 = \omega_1 + \omega_2, \omega_3 = \omega_1 + \omega_2, n_1, n_2, n_3) + \end{aligned}$$

$$+ \mu_{\alpha_2 \alpha_2}(-\vec{k}_3) \lambda_{\alpha_3 \alpha_3}(-\vec{q}) \mu_{\alpha_2 \alpha_2}(\vec{k}_1) \times$$

$$\times \int_{-\infty}^{\infty} d\omega_1 f(k_1^2, k_2^2, k_3^2, \omega_1, \omega_2 = \omega_1 + \omega_1, \omega_3 = \omega_1 + \omega_q, n_1, n_2, n_3) \} f(\omega_1 - \omega_3 - \omega_q).$$

Os termos de f que interessarão (contribuição não nula), são aqueles que contiverem um fator na forma $\theta(k_i^2 - |k^2|)$ e os outros dois da forma $\theta(|k^2| - k_{F\sigma}^2(n_i))$ isto é, termos que envolverem um estado ocupado e dois outros vazios. São eles

$$\tilde{f}(k_1^2, k_2^2, \dots) = \frac{\theta(|k_3^2| - k_{F\sigma}^2(n_3)) \theta(|k_2^2| - k_{F\sigma}^2(n_2)) \theta(k_{F\sigma}^2(n_1) - |k_1^2|)}{(\omega_1 - \omega_{n_1\sigma}(k_1^2) + i\eta) (\omega_2 - \omega_{n_2\sigma}(k_2^2) + i\eta) (\omega_3 - \omega_{n_3\sigma}(k_3^2) - i\eta)} +$$

$$+ \frac{\theta(|k_3^2| - k_{F\sigma}^2(n_3)) \theta(k_{F\sigma}^2(n_2) - |k_2^2|) \theta(|k_1^2| - k_{F\sigma}^2(n_1))}{(\omega_1 - \omega_{n_1\sigma}(k_1^2) + i\eta) (\omega_2 - \omega_{n_2\sigma}(k_2^2) - i\eta) (\omega_3 - \omega_{n_3\sigma}(k_3^2) + i\eta)} +$$

$$+ \frac{\theta(k_{F\sigma}^2(n_1) - |k_1^2|) \theta(|k_2^2| - k_{F\sigma}^2(n_2)) \theta(|k_3^2| - k_{F\sigma}^2(n_3))}{(\omega_1 - \omega_{n_1\sigma}(k_1^2) - i\eta) (\omega_2 - \omega_{n_2\sigma}(k_2^2) + i\eta) (\omega_3 - \omega_{n_3\sigma}(k_3^2) + i\eta)}$$

Resolvendo as integrais em ω_1 , permutando os índices de forma a termos a sub-banda ocupada com o índice 1 e considerando $k_i^2 \gg q \sim k_L$ obtemos:

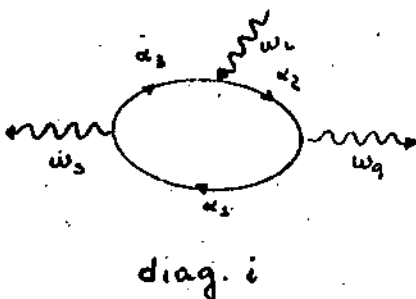
$$\langle f | S^{(3)} | i \rangle = 2\pi \sqrt{n_L} \frac{A(\omega_1) A(\omega_3)}{\hbar^3} \sum_{\sigma q} V_{q\sigma} \sum_{\alpha_1 \alpha_2 \alpha_3} \theta(k_{F\sigma}^2(n_1) - |k_1^2|)$$

$$\theta(|k_3^2| - k_{F\sigma}^2(n_2)) \theta(|k_2^2| - k_{F\sigma}^2(n_3)) \times$$

$$\left\{ \frac{\mu_{\alpha_2 \alpha_2}(-\vec{k}_3) \lambda_{\alpha_3 \alpha_3}(-\vec{q}) \mu_{\alpha_2 \alpha_2}(\vec{k}_1)}{(\omega_{n_1\sigma}(k_3^2) - \omega_3 - \omega_{n_3\sigma}(k_3^2)) (\omega_{n_1\sigma}(k_3^2) + \omega_q - \omega_{n_2\sigma}(k_2^2))} \right. \quad (\text{diag. } i)$$

$$\begin{aligned}
 & + \frac{\mu_{\alpha_3 \alpha_2}(-\vec{k}_3) \lambda_{\alpha_3 \alpha_2}(-\vec{q}) \mu_{\alpha_3 \alpha_2}(\vec{k}_L)}{(\omega_{n_3 \sigma}(k_3^2) - \omega_L - \omega_{n_3 \sigma}(k_3^2)) (\omega_{n_3 \sigma}(k_3^2) - \omega_q - \omega_{n_3 \sigma}(k_3^2))} + \quad (\text{diag. ii}) \\
 & + \frac{\mu_{\alpha_3 \alpha_2}(-\vec{k}_3) \lambda_{\alpha_3 \alpha_2}(-\vec{q}) \mu_{\alpha_3 \alpha_2}(\vec{k}_L)}{(\omega_{n_3 \sigma}(k_3^2) - \omega_q - \omega_{n_3 \sigma}(k_3^2)) (\omega_{n_3 \sigma}(k_3^2) + \omega_s - \omega_{n_3 \sigma}(k_3^2))} + \quad (\text{diag. iii}) \\
 & + \frac{\mu_{\alpha_3 \alpha_2}(-\vec{k}_3) \lambda_{\alpha_3 \alpha_2}(-\vec{q}) \mu_{\alpha_3 \alpha_2}(\vec{k}_L)}{(\omega_{n_3 \sigma}(k_3^2) - \omega_L - \omega_{n_3 \sigma}(k_3^2)) (\omega_{n_3 \sigma}(k_3^2) + \omega_s - \omega_{n_3 \sigma}(k_3^2))} + \quad (\text{diag. iv}) \\
 & + \frac{\mu_{\alpha_3 \alpha_2}(-\vec{k}_3) \lambda_{\alpha_3 \alpha_2}(-\vec{q}) \mu_{\alpha_3 \alpha_2}(\vec{k}_L)}{(\omega_{n_3 \sigma}(k_3^2) + \omega_L - \omega_{n_3 \sigma}(k_3^2)) (\omega_{n_3 \sigma}(k_3^2) + \omega_s - \omega_{n_3 \sigma}(k_3^2))} + \quad (\text{diag. v}) \\
 & + \frac{\mu_{\alpha_3 \alpha_2}(-\vec{k}_3) \lambda_{\alpha_3 \alpha_2}(-\vec{q}) \mu_{\alpha_3 \alpha_2}(\vec{k}_L)}{(\omega_{n_3 \sigma}(k_3^2) + \omega_L - \omega_{n_3 \sigma}(k_3^2)) (\omega_{n_3 \sigma}(k_3^2) + \omega_q - \omega_{n_3 \sigma}(k_3^2))} + \quad (\text{diag. vi}) \\
 & \hspace{15em} (\text{eq. III. 10})
 \end{aligned}$$

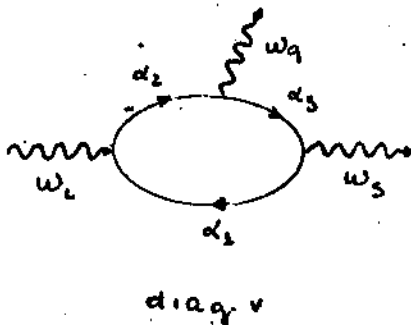
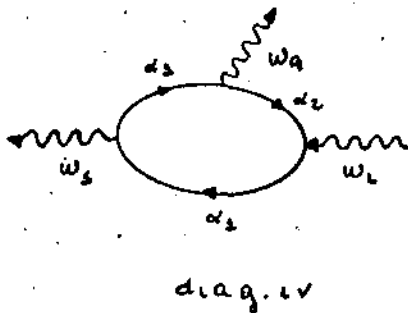
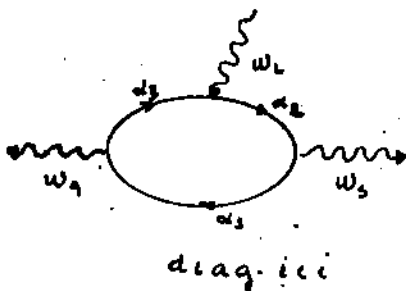
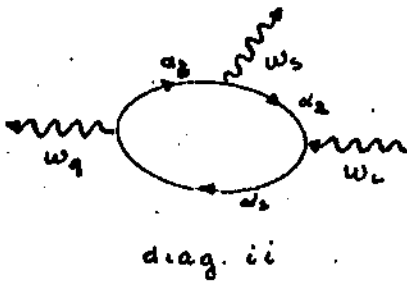
Nem todos estes termos são importantes para o espalhamento estudado. Para descobrirmos quais os que realmente contribuem, se faz necessária uma análise mais detalhada de cada um deles; é o que faremos ao lado do diagrama correspondente, lembrando que o nosso cristal tem o nível de Fermi coincidente com a base da sub-banda \uparrow .



Este termo corresponde ao processo em que o elétron sai do estado α_3 (sub-banda $\sigma \uparrow$) devido a emissão de um fóton, o que significa ele passar para um outro estado da sub-banda $\sigma \uparrow$ o que não é permitido pelo princípio de exclusão

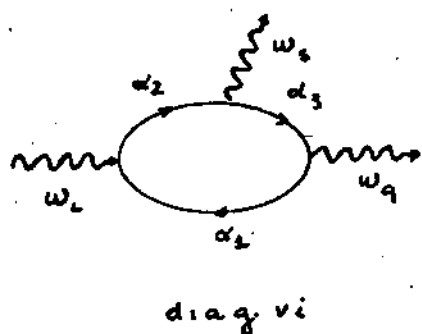
de Pauli. Conseqüentemente este termo não contribui para o espalhamento, o que também pode ser visto pelo produto das funções θ pois neste caso $n_1 = n_2 = n_3 - 1$.

Neste, o elétron muda de estado duas vezes dentro da mesma sub-banda σ_1 , o que pela razão apresentada acima, não é permitido. O produto das funções θ anula-se desde que $n_1 = n_2 = n_3$.



A análise do termo correspondente ao diagrama iii é a mesma que a do i e a do iv a mesma do ii, apenas está permutada a emissão do fóton pela emissão do m̄annon.

Este termo é diferente de zero se $n_1 < n_2 = n_3$ o que significa: ao absorver o fóton ω_1 , o elétron passa para um estado de uma sub-banda superior, emite um m̄annon ω_1 , decaindo para um outro estado dentro desta mesma sub-banda, voltando ao seu estado inicial quando da emissão do fóton ω_3 .



Este termo tambem \bar{e} diferente de zero se $n_1 < n_2 = n_3$ e seu significado \bar{e} que ao absorver o f \ddot{o} ton ω_L o el \ddot{e} tron passa \bar{a} um estado de uma sub-banda superior, emite o f \ddot{o} ton ω_S decaindo para um outro estado desta mesma sub-banda, voltando ao seu estado inicial quando da emiss \ddot{a} o do m \ddot{a} gnon ω_q .

Assim sendo, desprezando os termos que n \ddot{a} o con- tribuem, podemos escrever o elemento de matriz na forma

$$\langle f | S^{(3)} | i \rangle = \langle f | S^{(3)} | i \rangle_{(v)} + \langle f | S^{(3)} | i \rangle_{(vi)}$$

onde o sub \bar{i} ndice v ou vi indica a que termo estamos nos referindo. Calcularemos cada um deles separadamente.

Substituindo os μ 's e o λ , fazendo o somat \ddot{o} rio em n_1, n_2 e n_3 levando em conta que $\alpha_3 = 0$ temos

$$\langle f | S^{(3)} | i \rangle_v = 2\pi \frac{A(\omega_L) A(\omega_S)}{\hbar^3} \sqrt{n_L} \sum_q \delta(\omega_L - \omega_S - \omega_q) V_{q\mu} \sum_{\bar{k}_1, \bar{k}_2, \bar{k}_3} \delta_{\bar{k}_1, \bar{k}_2 + \bar{k}_3} \times$$

$$\times \delta_{\bar{k}_3, \bar{k}_2 - \bar{q}} \delta_{\bar{k}_1, \bar{k}_3 - \bar{k}_1} \left(\frac{\hbar \omega_L}{m^*} \right) \cos^2\left(\frac{\theta_L}{2}\right) \cos^2\left(\frac{\theta_S}{2}\right)$$

$$\frac{\theta(k_{F\uparrow}^2(0) - k_1^2) \theta(|k_2^2| - k_{F\uparrow}^2(1)) \theta(|k_3^2| - k_{F\uparrow}^2(1))}{(\omega_{0\uparrow}(k_2^2) + \omega_L - \omega_{3\uparrow}(k_1^2)) (\omega_{0\uparrow}(k_3^2) + \omega_S - \omega_{3\uparrow}(k_1^2))}$$

usando o fato que k_1^2 e q^2 s \ddot{a} o pequenos comparados com \bar{k} e efetuando a soma em \bar{k}_2, \bar{k}_3 e \bar{q} obtemos

$$\langle f | S^{(3)} | i \rangle_v = \frac{2\pi \sqrt{n_L}}{\hbar^3} A(\omega_L) A(\omega_S) \delta(\omega_L - \omega_S - \omega_q) \frac{\hbar \omega_L}{m^*} \times$$

$$V_{q\uparrow} \cos^2 \frac{\theta_1}{2} \cos^2 \frac{\theta_2}{2} \dots$$

$$\sum_{\vec{k}_s} \frac{\Theta(k_{F\uparrow}^2(0) - |\vec{k}_s|^2) \Theta(|\vec{k}_s|^2 - k_{F\uparrow}^2(1))}{(\omega_{0\uparrow}(k_s^2) + \omega_L - \omega_{s\uparrow}(k_s^2 + k_i^2)) (\omega_{0\uparrow}(k_s^2) + \omega_S - \omega_{s\uparrow}(k_s^2 + k_i^2))}$$

a soma k_s^2 nos dá $L^2/2\pi\lambda^2$ e a em k_s^2 pode ser transformada em uma integral da forma $\frac{L}{2\pi} \int_{-\infty}^{\infty} dk^2$. Assim sendo, substituindo $\omega_{n\sigma}(k^2)$, dada pela eq. I.2, obtemos

$$\langle f | S^{(3)} | i \rangle_{(V)} = \frac{\sqrt{n_L} \bar{V} \omega_c}{2\pi \lambda^2 \hbar^2 m^2} A(\omega_L) A(\omega_S) V_{q\uparrow}$$

$$\times \delta(\omega_L - \omega_S - \omega_q) \cos^2 \frac{\theta_1}{2} \cos^2 \frac{\theta_2}{2} \times$$

$$\times \int_{-\infty}^{\infty} dk^2 \frac{\Theta(k_{F\uparrow}^2(0) - k^2) \Theta(k^2 - k_{F\uparrow}^2(1))}{\left(\frac{\hbar k_L^2}{m^2} k^2 + \omega_c - \omega_L\right) \left(\frac{\hbar k_S^2}{m^2} k^2 + \omega_c - \omega_S\right)}$$

(eq. III.11)

definimos $\omega_c - \omega_L = r\omega_c$ e $\omega_c - \omega_S = p\omega_c$: desta maneira a integral torna-se:

$$\begin{aligned} & \int_{-\infty}^{\infty} dk^2 \frac{\Theta(k_{F\uparrow}^2(0) - k^2) \Theta(k^2 - k_{F\uparrow}^2(1))}{\left(\frac{\hbar k_L^2}{m^2} k^2 + r\omega_c\right) \left(\frac{\hbar k_S^2}{m^2} k^2 + p\omega_c\right)} = \\ & = \frac{1}{\omega_c \left(r - p \frac{k_L^2}{k_S^2}\right)} \int_{k_{F\uparrow}^2(1)}^{k_{F\uparrow}^2(0)} dk^2 \left\{ \frac{k^2}{k_S^2} \left(\frac{1}{\frac{\hbar k_S^2}{m^2} k^2 - r\omega_c} - \right. \right. \\ & \left. \left. - \frac{1}{\frac{\hbar k_L^2}{m^2} k^2 + r\omega_c} \right) + \left(\frac{1}{\frac{\hbar k_S^2}{m^2} k^2 + p\omega_c} - \frac{1}{\frac{\hbar k_S^2}{m^2} k^2 - p\omega_c} \right) \right\} \end{aligned}$$

$$= \frac{m^4}{\hbar^3 k_s^2 \omega_c} \left(\frac{1}{r - p \frac{k_x^2}{k_s^2}} \right) \left\{ \ln \frac{|k_{F\uparrow}^z(0) - a|}{|k_{F\uparrow}^z(1) - a|} + \right.$$

$$+ p \eta \frac{|k_{F\uparrow}^z(0) + d|}{|k_{F\uparrow}^z(1) + d|} - p \eta \frac{|k_{F\uparrow}^z(0) + a|}{|k_{F\uparrow}^z(1) + a|} -$$

$$\left. - p \eta \frac{|k_{F\uparrow}^z(0) - d|}{|k_{F\uparrow}^z(1) - d|} \right\}$$

onde $a = \frac{m^2}{\hbar k_s^2} r \omega_c$ e $d = \frac{m^2}{\hbar k_s^2} p \omega_c$

Usando este resultado, a eq. III.11 pode ser escrita como

$$\langle f | S^{(3)} | i \rangle_{v_i} = \frac{\sqrt{n_c} V A(\omega_c) A(\omega_s)}{2\pi \lambda^2 \hbar^3 k_s^2} V_{q\uparrow} \delta(\omega_c - \omega_s - \omega_q)$$

$$\cos^2\left(\frac{\theta_c}{2}\right) \cos^2\left(\frac{\theta_s}{2}\right) \frac{1}{\left(r - p \frac{k_x^2}{k_s^2}\right)} \left\{ \ln \frac{|k_{F\uparrow}^z(0) - a| |k_{F\uparrow}^z(1) + a|}{|k_{F\uparrow}^z(1) - a| |k_{F\uparrow}^z(0) + a|} + \right.$$

$$\left. + p \eta \frac{|k_{F\uparrow}^z(0) + d| |k_{F\uparrow}^z(1) - d|}{|k_{F\uparrow}^z(1) + d| |k_{F\uparrow}^z(0) - d|} \right\} \quad (\text{eq III.12})$$

Substituindo os μ 's e o λ em $\langle f | S^{(3)} | i \rangle_{v_i}$ e efetuando os somatórios em n_1, n_2 e n_3 a seguinte expressão é obtida

$$\langle f | S^{(3)} | i \rangle_{v_i} = \pi \sqrt{n_c} \frac{A(\omega_c) A(\omega_s)}{\hbar^3} \delta(\omega_c - \omega_s - \omega_q) \left(\frac{\hbar \omega_c}{m^*} \right)^{1/2}$$

$$\sum_{\substack{q \vec{k}_1 \\ \vec{k}_2 \vec{k}_3}} V_{q\uparrow} \delta_{\vec{k}_3, \vec{k}_2 - \vec{k}_1} \delta_{\vec{k}_1, \vec{k}_3 - \vec{q}} \delta_{\vec{k}_2, \vec{k}_1 + \vec{k}_3} \left(\frac{\hbar q_x^2}{m^* \omega_c} \right)^{1/2} \frac{\hbar k_s^2}{m^*}$$

$$\cos^2\left(\frac{\theta_s}{2}\right) \sin \theta_s \frac{\Theta(k_{FP}^2(0) - |k_s^2|) \Theta(|k_s^2| - k_{FP}^2(1))}{(\omega_{0+}(k_s^2) + \omega_c - \omega_{s+}(k_s^2)) (\omega_{n_{2e}}(k_s^2) + \omega_q - \omega_{n_{2e}}(k_s^2))}$$

efetuando os somatórios em \vec{q} , \vec{k}_2 e \vec{k}_3 e fazendo as simplificações possíveis, obtemos

$$\langle f | S^{(3)} | i \rangle_{(vi)} = \pi \sqrt{n_L} \frac{A(\omega_L) A(\omega_S)}{m^{*2} \hbar^2} \delta(\omega_L - \omega_S - \omega_q) \times$$

$$\times V_{q+} \cos^2 \frac{\theta_s}{2} \sin \theta_s \times$$

$$\times \sum_{\vec{k}_s} k_s^2 \frac{\Theta(k_{FP}^2(0) - |k_s^2|) \Theta(|k_s^2| - k_{FP}^2(1))}{\left(\frac{\hbar k_L^2}{m^*} k_s^2 + \omega_c - \omega_L\right) \left(\frac{\hbar q^2}{m^*} k_s^2 + \omega_c - \omega_q\right)}$$

o somatório em k_s^2 nos dá $\frac{L^2}{2\pi\lambda^2}$ e o em k_j^2 pode ser transformado em uma integral, desta maneira $\langle f | S^{(3)} | i \rangle_{(vi)}$ é escrito como

$$\langle f | S^{(3)} | i \rangle_{(vi)} = \frac{V \sqrt{n_L} q_+}{4\pi\lambda^2 m^{*2} \hbar} A(\omega_L) A(\omega_S) \delta(\omega_L - \omega_S - \omega_q).$$

$$V_{q+} \cos^2\left(\frac{\theta_s}{2}\right) \sin \theta_s \int_{-\infty}^{\infty} k^2 dk^2 \frac{\Theta(k_{FP}^2(0) - |k^2|)}{\left(\frac{\hbar k_L^2}{m^*} k^2 + \omega_c - \omega_L\right)} \times$$

$$\times \frac{\Theta(|k^2| - k_{FP}^2(1))}{\left(\frac{\hbar q^2}{m^*} k^2 + \omega_c - \omega_q\right)} \quad (\text{eq. III.13})$$

$$\begin{aligned} \text{mas } \int_{-\infty}^{\infty} k^2 dk^2 \frac{\Theta(k_{F+}^2(0) - |k^2|) \Theta(|k^2| - k_{F+}^2(1))}{\left(\frac{\hbar k^2}{m^*} k^2 + \omega_c - \omega_L\right) \left(\frac{\hbar q^2}{m^*} k^2 + \omega_c - \omega_L\right)} = \\ = \frac{m^{*2}}{\hbar^2 k_L^2 q^2} \frac{a}{a-b} \left\{ \rho_n \frac{|k_{F+}^2(0) + a| |k_{F+}^2(1) - a|}{|k_{F+}^2(1) + a| |k_{F+}^2(0) - a|} + \right. \\ \left. \frac{b}{a} \rho_n \frac{|k_{F+}^2(0) - b| |k_{F+}^2(1) + b|}{|k_{F+}^2(1) - b| |k_{F+}^2(0) + b|} \right\} \end{aligned}$$

levando o resultado da integral para a eq. III.13, obtemos

$$\begin{aligned} \langle f | S^{(3)} | i \rangle_{(v)} = \frac{V \sqrt{n_L} q_L A(\omega_L) A(\omega_S)}{4\pi \lambda^2 \hbar^3 q^2 k_L^2} \cdot V_{q+} \times \\ \times \cos^2\left(\frac{\theta_L}{2}\right) \sin \theta_S \delta(\omega_L - \omega_S - \omega_q) \frac{a}{a-b} \times \\ \times \left\{ \rho_n \frac{|k_{F+}^2(0) + a| |k_{F+}^2(1) - a|}{|k_{F+}^2(1) + a| |k_{F+}^2(0) - a|} + \frac{b}{a} \rho_n \frac{|k_{F+}^2(0) - b| |k_{F+}^2(1) + b|}{|k_{F+}^2(1) - b| |k_{F+}^2(0) + b|} \right\} \end{aligned}$$

(eq. III.14)

III.2 CÁLCULO DAS EFICIÊNCIAS RAMAN

Usando a eq. III.12 para calcular P_{fi}^v (probabilidade de espalhamento por unidade de tempo) e $P_{fi}^v(\Omega)$, probabilidade por unidade de tempo de que um fóton com k_s seja espalhado dentro de Ω , obtemos:

$$P_{fi}^v = \frac{n_L V^2}{(2\pi)^3 \lambda^4 \hbar^6 (k_s^2)^2} |A(\omega_L)|^2 |A(\omega_S)|^2 |V_{q+}|^2 \times$$

$$-x \delta(\omega_L - \omega_S - \omega_q) \cos^4\left(\frac{\theta_L}{2}\right) \cos^4\left(\frac{\theta_S}{2}\right) \frac{1}{r - p \frac{k_L^2}{k_S^2}} x$$

$$x \left| \rho_n \frac{|k_{F\uparrow}^2(0) - a| |k_{F\uparrow}^2(1) + a| |k_{F\uparrow}^2(0) + d| |k_{F\uparrow}^2(1) - d|}{|k_{F\uparrow}^2(1) - a| |k_{F\uparrow}^2(0) + a| |k_{F\uparrow}^2(1) + d| |k_{F\uparrow}^2(0) - d|} \right|^2 \quad (\text{eq. III.15})$$

$$e \quad P_{ji}^v(\Omega) = \frac{\Omega \epsilon^{3/2} n_L V^3 \omega_S^2}{(2\pi)^6 \lambda^4 c^3 \hbar^6 (k_S^2)^2} |A(\omega_L)|^2 |A(\omega_S)|^2 |V_{q\uparrow}|^2 x$$

$$x \cos^4\left(\frac{\theta_L}{2}\right) \cos^4\left(\frac{\theta_S}{2}\right) \frac{1}{\left(r - p \frac{k_L^2}{k_S^2}\right)^2} x$$

$$x \left| \rho_n \frac{|k_{F\uparrow}^2(0) - a| |k_{F\uparrow}^2(1) + a| |k_{F\uparrow}^2(0) + d| |k_{F\uparrow}^2(1) - d|}{|k_{F\uparrow}^2(1) - a| |k_{F\uparrow}^2(0) + a| |k_{F\uparrow}^2(1) + d| |k_{F\uparrow}^2(0) - d|} \right|^2 \quad (\text{eq. III.16})$$

Analogamente, usando a eq. III.14, obtemos para P_{ji}^{vc} e $P_{ji}^{vc}(\Omega)$ as seguintes expressões:

$$P_{ji}^{vc} = \frac{n_L V^2 q_{\uparrow}^2}{32 \pi^3 \lambda^4 \hbar^6 (k_i^2)^2 q_{\downarrow}^2} |A(\omega_L)|^2 |A(\omega_S)|^2 |V_{q\uparrow}|^2 \delta(\omega_L - \omega_S - \omega_q) x$$

$$x \cos^4 \frac{\theta_L}{2} \sin^2 \theta_S \frac{a^2}{(a-b)^2} \left| \rho_n \frac{|k_{F\uparrow}^2(0) + a| |k_{F\uparrow}^2(1) - a|}{|k_{F\uparrow}^2(1) + a| |k_{F\uparrow}^2(0) - a|} \right|^2$$

$$+ \frac{b}{a} \rho_n \frac{|k_{F\uparrow}^2(0) - b| |k_{F\uparrow}^2(1) + b|}{|k_{F\uparrow}^2(1) - b| |k_{F\uparrow}^2(0) + b|} \left| \right|^2 \quad (\text{eq. III.17})$$

e

$$P_{ji}^{(vi)}(\Omega) = \Omega \frac{n_e V^3 \epsilon^{3/2} q_1^2 \omega_s^2}{128 \pi^6 \lambda^4 c^4 \hbar^6 (k_i^2)^2 q_2^2} |A(\omega_L)|^2 |A(\omega_S)|^2 |V_{q+}|^2$$

$$\cos^4 \frac{\theta_L}{2} \sin^2 \theta_S \frac{a^2}{(a-b)^2} \left| \ln \frac{|k_{F+}^2(0)+a| |k_{F+}^2(L)-a|}{|k_{F+}^2(L)+a| |k_{F+}^2(0)-a|} \right| +$$

$$+ \frac{b}{a} \left| \ln \frac{|k_{F+}^2(0)-b| |k_{F+}^2(L)+b|}{|k_{F+}^2(L)-b| |k_{F+}^2(0)+b|} \right|^2 \quad (\text{eq. III. 18})$$

Sendo a eficiência Raman dada por $S_R = \frac{\epsilon^{1/2} L P_{ji}(\Omega)}{c n_L}$, onde L é o comprimento do cristal, temos

$$S_R^v = \frac{\Omega L \epsilon^2 V^3 \omega_s^2}{(2\pi)^6 \lambda^4 c^4 \hbar^6 (k_s^2)^2} |A(\omega_L)|^2 |A(\omega_S)|^2 |V_{q+}|^2$$

$$\times \cos^4 \frac{\theta_L}{2} \cos^4 \frac{\theta_S}{2} \frac{1}{\left(r - p \frac{k_L^2}{k_S^2}\right)^2} \times$$

$$\times \left| \ln \frac{|k_{F+}^2(0)-a| |k_{F+}^2(L)+a| |k_{F+}^2(0)+d| |k_{F+}^2(L)-d|}{|k_{F+}^2(L)-a| |k_{F+}^2(0)+a| |k_{F+}^2(L)+d| |k_{F+}^2(0)-d|} \right|^2$$

(eq. III. 19)

$$e \cdot S_R^{vi} = \frac{\Omega L \epsilon^2 V^3 q_1^2 \omega_s^2}{128 \pi^6 \lambda^4 c^4 \hbar^6 (k_i^2)^2 q_2^2} |A(\omega_L)|^2 |A(\omega_S)|^2 |V_{q+}|^2 \cdot$$

$$\cos^4 \frac{\theta_L}{2} \sin^2 \theta_S \frac{a^2}{(a-b)^2} \left| \ln \frac{|k_{F+}^2(0)+a| |k_{F+}^2(L)-a|}{|k_{F+}^2(L)+a| |k_{F+}^2(0)-a|} \right| +$$

$$+ \frac{b}{a} \left| \ln \frac{|k_{F+}^2(0)-b| |k_{F+}^2(L)+b|}{|k_{F+}^2(L)-b| |k_{F+}^2(0)+b|} \right|^2$$

(eq. III. 20)

Substituindo as expressões de $A(\omega_s)$, $A(\omega_i)$ e $V_{q\uparrow}$ obtemos

$$S_R^v = \Omega L \frac{e^4 g^4 \mu_B^4 S}{2\pi^2 \lambda^4 c^4 \hbar^4 (k_s^z)^2} \left(\frac{\omega_s}{\omega_i} \right) \left(\frac{N}{V} \right) \frac{q_s^2 q_i^2}{q_s^4 + q_i^4}$$

$$\times \cos^4 \frac{\theta_s}{2} \cos^4 \frac{\theta_i}{2} \frac{1}{\left(r - p \frac{k_s^z}{k_s^z} \right)^2} \times$$

$$\times \left| \ln \frac{|k_{F\uparrow}^z(0) - a| |k_{F\uparrow}^z(s) + a| |k_{F\uparrow}^z(0) + d| |k_{F\uparrow}^z(s) - d|}{|k_{F\uparrow}^z(s) - a| |k_{F\uparrow}^z(0) + a| |k_{F\uparrow}^z(s) + d| |k_{F\uparrow}^z(0) - d|} \right|^2$$

(eq. III.21)

$$e S_R^{vi} = \Omega L \frac{e^4 g^4 \mu_B^4 S}{8\pi^2 \lambda^4 c^4 \hbar^4 (k_i^z)^2} \left(\frac{\omega_s}{\omega_i} \right) \left(\frac{N}{V} \right) \frac{q_s^4}{q_s^4 + q_i^4}$$

$$\cos^4 \frac{\theta_i}{2} \sin^2 \theta_s \frac{a^2}{(b-a)^2} \left| \ln \frac{|k_{F\uparrow}^z(0) + a| |k_{F\uparrow}^z(s) - a|}{|k_{F\uparrow}^z(s) + a| |k_{F\uparrow}^z(0) - a|} \right|$$

$$+ \frac{b}{a} \ln \frac{|k_{F\uparrow}^z(0) - b| |k_{F\uparrow}^z(s) + b|}{|k_{F\uparrow}^z(s) - b| |k_{F\uparrow}^z(0) + b|} \Big|^2$$

eq. III.22

Da eq. III.21 podemos tirar as seguintes regras para o processo (v).

A eficiência vai a zero para as seguintes geometrias:

a) Incidência na direção do campo externo e vetor de onda espalhado paralelo ou antiparalelo a \hat{z} . (q_{\perp}^2 ou $\cos \frac{\theta_s}{2}$ igual a zero).

b) Incidência na direção perpendicular ao campo externo e vetor de onda espalhado paralelo ou antiparalelo

ao incidente. (q_2 igual a zero)

Geometrias bastante favoráveis são mostradas nas
figs. III.1 e III.2 .

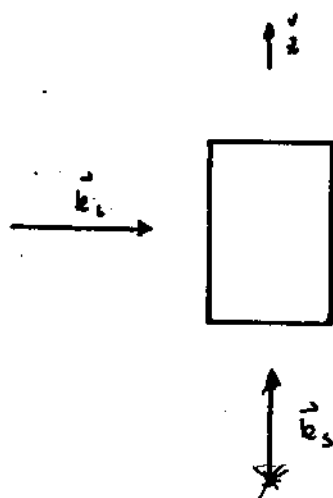


Fig. III.1

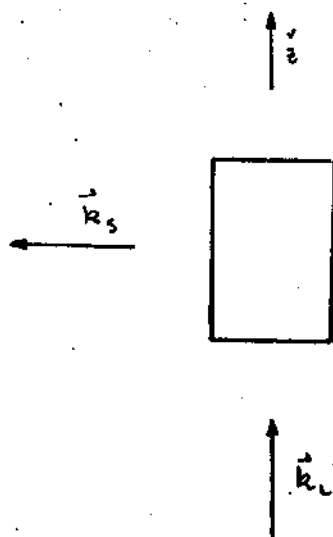


Fig. III.2

Para o processo (ν_i), espalhamento Raman não é observado nas seguintes geometrias

a) Incidência na direção do campo e vetor de onda espalhado paralelo ou antiparalelo ao incidente. (q_{\perp}^2 e $\sin \theta_s$ iguais a zero).

b) Para qualquer incidência se \vec{k}_s paralelo ou antiparalelo ao campo externo.

c) Para α muito grande quando comparado com b e $k_{rf}^2(\omega)$, o que significa ω_L muito maior que ω_c .

Note-se que para a geometria mostrada na fig. III.1 o processo (ν) é favorecido enquanto que ν_i vai a zero; a mostrada no fig. III.2 é bastante favorável para este processo.

CAPÍTULO IV

ANÁLISE E VALORES NUMÉRICOS DOS
RESULTADOS OBTIDOS.

Com a finalidade de obtermos uma estimativa numérica para as eficiências $S_R^{(1)}$ (eq. II.16), $S_R^{(2)}$ (eq. III.19) e $S_R^{(3)}$ (eq. III.20), tomamos os parâmetros físicos envolvidos tendo valores característicos de semicondutores magnéticos, tais como o CdCr_2Se_4 dopado com prata. A massa efetiva (m^*) igual a massa do elétron livre (m_e), $g = 1.95$, J da ordem de $10^{-14} - 10^{-15}$ erg, spin do íon (S) igual a $3/2$, densidade (N/V) 10^{23} cm^{-3} e densidade de portadores de $2.1 \times 10^{14} \text{ cm}^{-3}$ o que nos dá $k_{FF}^2(0) = 1.83 \times 10^6 \text{ cm}^{-2}$. No CdCr_2Se_4 em particular temos níveis de Landau bem definidos para campos magnéticos maiores que 10 KG.

Analisando a eq. II.16, observa-se que $S_R^{(1)}$ torna-se muito grande quando $b = \frac{m^* \ell \omega_c}{\hbar q^2}$ aproxima-se de $k_{FF}^2(0)$. Sendo ω_q , para campos da ordem do que estamos tomando, praticamente constante temos:

$$\frac{\omega_q}{\omega_c} = \frac{\omega_0}{\omega_c} = \frac{g \frac{e}{2mc} H}{\frac{eH}{mc}} = g/2.$$

Assim $\ell = 1 - \frac{\omega_q}{\omega_c} = 1 - g/2$ sendo portanto um valor que depende apenas de características internas do material. Note-se porém, que dois parâmetros externos podem ser ajustados de modo que sempre possamos estar próximos a região onde $S_R^{(1)}$ torna-se significativa: ω_c que depende do campo externo e q^2 que depende da geometria escolhida.

A fig. IV.I mostra o comportamento de $S_R^{(1)}$ com o ângulo que o vetor de onda incidente (\vec{k}_i) faz com \vec{k} , considerando \vec{k}_i antiparalelo a \vec{k}_s (vetor de onda espalhado), $|\vec{k}_i| = 6 \times 10^4 \text{ cm}^{-1}$ e campos externos de 200, 150, 100 e 50 KG. Observa-se que o ângulo de incidência para o qual temos o pico de $S_R^{(1)}$ depende unicamente do campo aplicado uma vez que g é fixado quando o material é escolhido.

Observe-se que a ressonância obtida é essencialmente geométrica e o espalhamento pode ser observado para qualquer valor de g no entorno de 2, uma vez que a modificação do fator giromagnético apenas modificará a posição do pico em relação ao ângulo de incidência. Este tipo de ressonância também pode ser observada para fônons apenas a dependência na geometria naquele caso é diferente, o que se deve a diferença de vertex de interação.

Para campo magnético de 100 KG e incidência de 77° , $S_R^{(ii)} \approx 1.5 \times 10^{-17}$ que para uma potência incidente de 18W nos dá 150 fônons espalhados por segundo, que nesta faixa de frequência é facilmente detectado.

$S_R^{(iv)}$ terá valores significativos apenas para campo da ordem de 100 KG ou superiores e laser com comprimento de onda da ordem de 0,5 mm, como é o caso do de ICN, que tem uma linha em $\lambda = 0.538 \text{ mm}$ com potência de $1/2 \text{ W}$ (18). Considerando este valor para o comprimento de onda temos, $a = 2.95 \times 10^{10}$ e $d = 2.94 \times 10^{10}$. Para a geometria proposta no capítulo III obtemos $S_R^{(v)} \sim 5 \times 10^{-14}$. O número de fônons espalhados por segundo é 6.1×10^6 o que para ser detectado é necessário um detector sensível a 10^{-16} W . Para campos menores o processo tem eficiência ainda menor.

Para $S_R^{(vi)}$, a observação da eq. III.13 nos leva a concluir que a situação mais favorável é quando temos $\omega_c \sim \omega_L \sim \omega_c$. Já vimos anteriormente que no nosso material $\omega_q \sim \omega_c$ e a frequência da linha $\lambda = 0.538 \text{ mm}$ do laser de ICN é da ordem de ω_c , para campos de 100 KG. Para estes valores e uma geometria favorável temos $a = 2.95 \times 10^{10}$ e $b = 4 \times 10^9$ logo $S_R^{(vi)} \sim 10^{-20}$. Pelas razões expostas, este processo apre

presenta s̄erias dificuldades de detecç̄ao.

Assim sendo, o espalhamento Raman por m̄agnons envolvendo processos intrabanda, ̄e devido essencialmente ao processo no qual a interaç̄ao radiaç̄ao-el̄tron de conduç̄ao ̄e devida ao termo em A^2 (fig. I.1), ao contr̄ario do espalhamento intrabanda por f̄ons em semicondutores normais, onde a resson̄ncia ciclotr̄onica ($\omega_L + n\omega_c$) ̄e aparentemente significativa⁽²¹⁾.